

# 皮肤花斑评分对脓毒症休克患者预后的评估作用\*

上海市浦东医院/复旦大学附属浦东医院 石齐芳 盛鹰 王树云 黄秀英\*,上海 201399

**摘要** 目的:探讨皮肤花斑评分(SMS评分)在脓毒症休克患者的应用价值。方法:采用前瞻性观察性研究方法,收集50例脓毒症休克患者的临床病历资料,以入院后28d为观察终点,使用受试者工作曲线下面积(AUC)评价SMS评分、急性生理与慢性健康评分(APACHE II)、序贯器官衰竭评分(SOFA)及血乳酸水平预测患者预后的价值,采用Kaplan-Meier生存分析法分析患者生存情况。结果:SMS评分、SOFA评分、APACHE II评分及血乳酸水平预测脓毒症休克患者预后的AUC分别是0.651(95%:0.488~0.814),0.757(95%:0.623~0.891),0.773(95%:0.637~0.909),0.713(95%:0.568~0.859),SMS评分3~5分组病死率明显高于0~2分组(88.9% vs 31.7%, $P=0.006$ )。2组Kaplan-Meier生存分析,差异有统计学意义( $P<0.05$ )。结论:SMS评分简单实用,评估脓毒症休克患者预后有一定价值。

**关键词** 皮肤花斑;评分系统;脓毒症休克

中图分类号 R515.3;R605.971

文献标识码 A

DOI 10.11768/nkjwzzz20190116

微循环功能障碍是脓毒症休克发生、发展最重要的病理生理学基础<sup>[1,2]</sup>,目前常用的监测微循环的方法有动脉血乳酸水平、混合静脉血氧饱和度、CO<sub>2</sub>分压张力、激光多普勒、扫描激光多普勒、正交偏振光谱和侧流暗视野成像技术等<sup>[3]</sup>。脓毒症休克患者常伴随有皮肤改变,如皮肤湿冷、皮肤花斑。Aitoufella等<sup>[4]</sup>制作了皮肤花斑评分(skin mottling score,SMS)来评估脓毒症休克。SMS评分简单实用,本研究拟观察皮肤花斑评分在脓毒症休克患者的应用价值。

## 资料与方法

**一般资料** 采用前瞻性观察性研究,上海市浦东医院重症医学科2016年6月~2017年6月收治脓毒症休克患者50例,年龄46~89岁,平均(67.2±10.9)岁。50例患者中18例(36%)出现皮肤花斑,28d病死率42%(21/50)。入选标准:参考Sepsis-3定义<sup>[5]</sup>,脓毒症休克诊断标准为在明确诊断脓毒症的基础上,伴有持续性低血压,在充分补充血容量的基础上,仍需要升压药物以维持平均动脉压≥65 mmHg且血清乳酸水平>2 mmol/L。排出标准:恶性肿瘤、免疫缺陷患者和孕妇。本研究符合医学伦理学标准,并经医院伦理委员会批准。

**方法** 脓毒症休克患者常规给予液体复苏、抗感染、血管活性药物、营养支持、器官保护、预防并发

症等治疗,根据指征选择机械通气、手术干预。以急性生理与慢性健康评分Ⅱ(acute physiology, age, chronic health evaluation II, APACHE II)和序贯器官衰竭评分(sequential organ failure assessment, SOFA)为参考,常规收集患者性别、年龄、主要诊断、基础疾病、生命体征、意识水平、机械通气情况、血乳酸水平、实验室检查项目等,进行SMS评分,观察28d内的预后。

**SMS评分** 没有花斑为0分;膝盖的中心有小范围(硬币大小)的花斑为1分;花斑的范围没有超过膝盖骨的边缘为2分;花斑的范围没有超过大腿的中间为3分;花斑的范围没有超过腹股沟襞为4分;花斑的范围超过腹股沟襞为5分,见图1。

**统计学处理** 采用SPSS 17.0统计学软件。计数资料用百分数(%)表示,采用 $\chi^2$ 检验,正态分布计量资料用( $\bar{x} \pm s$ )表示,采用t检验。以 $P<0.05$ 为差异有统计学意义。根据受试者特征曲线(ROC曲线)下的面积(AUC)比较各评分系统的预测能力(AUC在0.5~0.7辨别力较低,0.7~0.9为辨别力较好,>0.9为辨别力极好)。采用Kaplan-Meier生存分析不同组患者28d生存时间,行log-rank检验,以 $P<0.05$ 为差异有统计学意义。

## 结 果

**基线资料** 50例脓毒症休克患者中18例出现皮肤花斑,28d死亡21例(死亡组),生存29例(存活组),病死率42%(21/50),死亡组SOFA评分、APACHE II评分及血乳酸水平均高于生存组(均 $P<0.01$ )。2组SMS评分分布情况和基线资料情况,见表1。

\*基金项目:上海市浦东新区卫生系统重点学科建设资助(No:PWZxk2017-20);上海市浦东医院浦秀计划项目资助(No:PX201607)

\*通信作者:黄秀英,E-mail:pyzz88@sohu.com

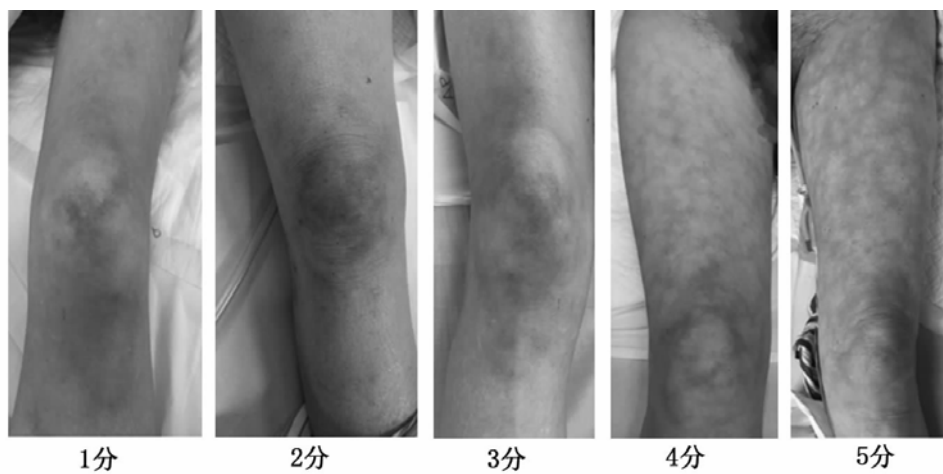


图 1 不同 SMS 评分的特点图

表 1 脓毒症休克死亡组与存活组基线资料的比较

组别	例	年龄 (岁)	性别(例)		感染部位(例)				APACHE II 评分(分)
			男	女	肺部	腹腔	泌尿系统	未确定	
死亡组	21	69.1 ± 10.4	12	9	10	7	2	2	23.76 ± 5.41 **
存活组	29	65.9 ± 11.2	14	15	16	5	5	3	18.59 ± 4.09
组别	例	SOFA 评分 (分)		SMS 评分(例)				APACHE II 评分(分)	
		死亡组	存活组	0 分	1 分	2 分	3 分	4 分	5 分
死亡组	21	11.05 ± 2.42 **	4.89 ± 2.61 **	11	0	2	4	3	1
存活组	29	8.72 ± 2.20	3.31 ± 1.07	21	2	5	1	0	0

注:与存活组比较, \*\*  $P < 0.01$

SMS 评分预测价值 SMS 评分、SOFA 评分、APACHE II 评分及血乳酸水平预测脓毒症休克患者预后的 AUC 分别是 0.651 (95% CI: 0.488 ~ 0.814), 0.757 (95% CI: 0.623 ~ 0.891), 0.773 (95% CI: 0.637 ~ 0.909), 0.713 (95% CI: 0.568 ~ 0.859), 见图 2。

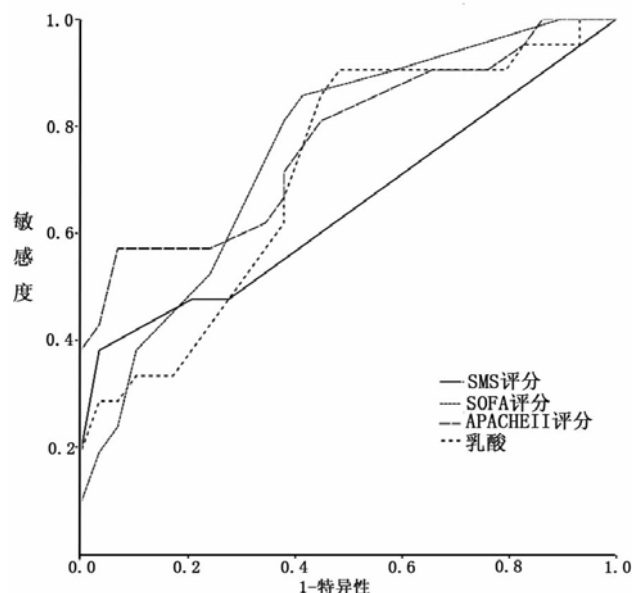


图 2 SMS 评分对脓毒症休克 28d 病死率的 ROC 曲线图

SMS 评分的生存函数 3 ~ 5 分组病死率明显高于 0 ~ 2 分 ( $88.9\% \text{ vs } 31.7\%$ ,  $\chi^2 = 7.698$ ,  $P =$

0.006)。2 组采用 Kaplan Meier 法行生存分析, 差异有统计学意义(log-rank 检验,  $P < 0.05$ ), 见图 3。

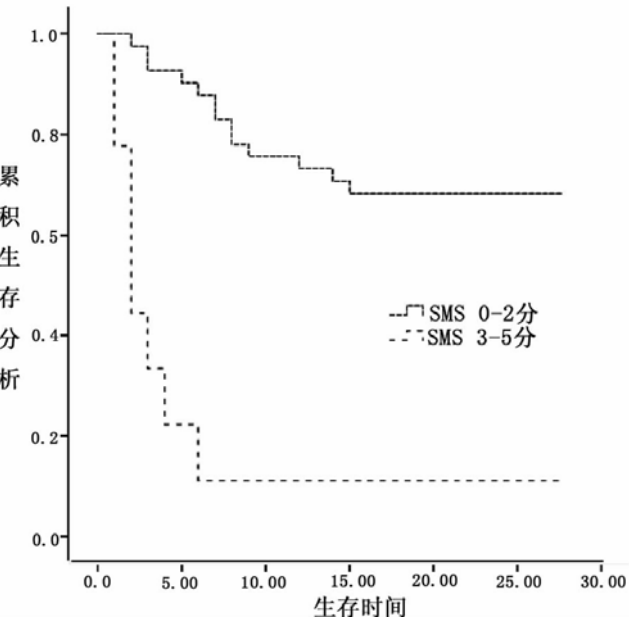


图 3 SMS 评分 0 ~ 2 分与 3 ~ 4 分组的生存函数

## 讨 论

脓毒症休克时周围皮肤小血管收缩, 影响皮肤的微循环, 会出现皮肤湿冷及花斑。Aitoufella 等<sup>[4]</sup>发现 65% 的花斑会出现在膝盖。2011 年 Aitoufella 等<sup>[4]</sup>总结了脓毒症休克膝盖皮肤花斑的发生发展

特点，并设计了SMS评分来对脓毒症休克进行危险分层，其研究显示SMS评分与脓毒症休克14 d病死率密切相关，是预后的预测因子。随后其进一步通过近红外光谱技术<sup>[6]</sup>与激光多普勒技术<sup>[7]</sup>证实了SMS评分与膝盖皮肤灌注的相关性。Coudroy等<sup>[8]</sup>发现SMS评分在危重病患者同样适用，花斑持续超过6 h与危重病28 d病死率相关。Galbois等<sup>[9]</sup>在42例肝硬化合并脓毒症休克患者中，同样观察到花斑评分可以预测预后，但肝硬化合并脓毒症休克花斑活动特点不一样：死亡组中花斑延迟出现，生存组花斑早期消失，对于此类患者即使没有花斑，应该尽早送入ICU。Moura等<sup>[10]</sup>进一步验证了SMS评分作为脓毒症休克预测因子的真实性。目前报道的文献按SMS评分分3个层次，0~1分，2~3分，4~5分，其中4~5分往往预后不良，病死率高。SMS评分的应用价值仍需进一步验证。

本研究显示，18例患者出现花斑，经SMS评分，发现SMS评分2分在脓毒症休克较多见（7例，38.9%），见表1；SMS评分3~5分组病死率明显高于0~2分组（88.9% vs 31.7%，P=0.006）。笔者认为SMS评分2分为分界值较为合适，3~5分为典型的皮肤花斑，往往预后不良，0~2分为早期花斑，主要局限在膝盖，临床医务人员往往重视不足，然而体格检查时需要注意这一临床体征，积极液体复苏，改善微循环<sup>[11]</sup>。本研究显示SMS评分预测预后的AUC并没有超过0.7，辨别力较低，但是这并没有影响SMS评分的临床价值，因为：①各种评分系统（如SOFA评分、APACHE II评分、MEDS评分、SAPS II等）<sup>[12,13]</sup>，包含内容越多，往往预测效能越高，但过于复杂却不便使用；②SMS评分简实用，可以作为综合评估患者的一项基础和补充。

结合文献和本研究，总结脓毒症休克花斑特点：  
①花斑首先是从膝盖开始，主要向大腿进展，小腿进

展少；②花斑的颜色开始表现为紫罗兰红色（red-violaceous/violaceus）；③深色皮肤（dark skin）、腿部截肢、腿部瘢痕患者不适用。

## 参考文献

- 1 Lima A, Bakker J. Clinical assessment of peripheral circulation [J]. Cur Opin Crit Care, 2015, 21(3):226.
- 2 潘盼,段美丽,李昂.脓毒症的微循环障碍监测研究进展[J].内科急危重症杂志,2014,20(2):127-129.
- 3 De BD, Donadello K. Assessment of microperfusion in sepsis. [J]. Minerva Anestesiologica, 2015, 81(5):533-540.
- 4 Aitoufella H, Lemoinne S, Boelle PY, et al. Mottling score predicts survival in septic shock. [J]. Int Care Med, 2011, 37(5):801-807.
- 5 Singer M, Deutschman CS, Seymour CW, et al. The third international consensus definitions for sepsis and septic shock (sepsis-3) [J]. JAMA, 2016, 315(8):801-810.
- 6 Aitoufella H, Joffre J, Boelle P Y, et al. Knee area tissue oxygen saturation is predictive of 14-day mortality in septic shock [J]. Int Care Med, 2012, 38(6):976-983.
- 7 Aitoufella H, Bourcier S, Alves M, et al. Alteration of skin perfusion in mottling area during septic shock [J]. Ann Int Care, 2013, 3(1):31.
- 8 Coudroy R, Jamet A, Frat JP, et al. Incidence and impact of skin mottling over the knee and its duration on outcome in critically ill patients [J]. Int Care Med, 2015, 41(3):452-459.
- 9 Galbois A, Bigé N, Pichereau C, et al. Exploration of skin perfusion in cirrhotic patients with septic shock. [J]. J Hepatology, 2015, 62(3):549-555.
- 10 de Moura EB, Amorim FF, Da CS A, et al. Skin mottling score as a predictor of 28-day mortality in patients with septic shock [J]. Int Care Med, 2016, 42(3):479-480.
- 11 邱光钰,刘阳.中心静脉血氧饱和度联合中心静脉-动脉血二氧化碳分压差指导感染性休克液体复苏[J].内科急危重症杂志,2016,22(5):369-370.
- 12 王娜,李培兰.脓毒症合并急性肾损伤的危险因素及预后分析[J].内科急危重症杂志,2018,24(3):198-200.
- 13 黄维国.血清降钙素原诊断危重感染临床分析[J].内科急危重症杂志,2017,23(3):237-239.

（2017-10-13 收稿 2018-08-27 修回）